

مطالعه بیماری ژنتیکی پیچیدگی ستون فقرات (CVM) و نقص در آنزیم اوریدین مونوفسفات

ستاز (DUMPS) در گاوها سرابی با تکنیک PCR-SSCP و PCR-RFLP

محمد رضا نصیری^{۱*}, شاهرخ قوتی^۱, مجتبی طهمورث پور^۲, محمد دوستی^{۱*}, مرتضی مهدوی^۱, بلال صادقی^۱ و محمد رضا آرمین^۳

^۱ گروه علوم دامی، دانشکده کشاورزی، دانشگاه فردوسی مشهد

^۲ پژوهشکده بیوتکنولوژی و فناوری زیستی دانشگاه فردوسی مشهد

^۳ گروه بیوتکنولوژی و بهترادی گیاهان زراعی، دانشکده کشاورزی، دانشگاه فردوسی مشهد

چکیده

بررسی و تشخیص بیماری های ژنتیکی در جوامع انسانی و حیوانی از اهمیت خاصی برخوردار است. خون گیری از ۱۶۲ گاو سرابی ایستگاه تحقیقاتی سراب (استان آذربایجان شرقی) انجام شد. استخراج DNA از نمونه ها به روش گوانیدین تیو سینات-سیلیکاژل صورت گرفت. هدف از این مطالعه، شناسایی حاملین بیماری پیچیدگی ستون فقرات (CVM) و نقص در آنزیم اوریدین مونوفسفات ستاز (DUMPS) در گاوها بومی سرابی ایران بود. واکنش زنجیره ای پلیمراز برای تکثیر قطعات ۱۷۷ و ۱۰۸ جفت بازی از اگزون ۴ ژن SLC35A3 و اگزون ۵ ژن UMPs با استفاده از جفت آغازگرهای اختصاصی انجام شد. محصولات واکنش زنجیره ای پلیمراز ژن SLC35A3 به روش SSCP برای بررسی تفاوت فرم فضایی رشته های منفرد روی ژل اکریل آمید الکتروفورز شدند. عمل هضم آنزیمی (RFLP) با استفاده از آنزیم *AvaI* برای به دست آوردن الگوی هضمی مناسب به منظور تشخیص و شناسایی حاملین بیماری DUMPS روی محصولات واکنش زنجیره ای پلیمراز ژن UMPs انجام شد. نتایج این بررسی نشان داد که جهش ($C \rightarrow T$) در موقعیت ۵۵۹ اگزون ۴ ژن SLC35A3 و همچنین جهش ($T \rightarrow C$) در موقعیت ۴۰۵ اگزون ۵ ژن UMPs در گاوها سرابی وجود نداشتند و بنابراین هیچ دام ناقلی مشاهده نشد.

کلمات کلیدی: بیماری ژنتیکی اتوزومال، پیچیدگی ستون فقرات، مارکر مولکولی، گاو سرابی، *DUMPS*, *CVM*

.*PCR-SSCP* .*PCR-RFLP*

مقدمه

شد. پیچیدگی ستون فقرات یک بیماری مادرزادی کشنده در گاوهای هلشتاین است و به صورت آتوزوم نهفته بروز می‌کند. این بیماری عامل سقط، مرگ و میر جنین و زایمان گوساله به صورت Agerholm et al., (2001, Rusc et al., 2007 مرده و زودتر از موئد می‌باشد (2001). پس از مدت کوتاهی ظهور (CVM) در آمریکا، انگلستان، هلند و ژاپن Duncan et al., 2001, Nagahata (2002). جهش $T \rightarrow G$ در موقعیت 559 اگزون 4 ژن 2SLC35A3 روی کروموزوم شماره 3 عامل بیماری شناخته شده است.

ژن $SLC35A3$ مسئول عملکرد UDP-N-acetylglucosamine transporter می‌باشد که انتقال دهنده قندهای نوکلئوتیدی از سیتوزول به درون دستگاه گلتری می‌باشد. (Ishida & Kawakita, 2004, Ishida et al., 2005)

در این موضع قندهای نوکلئوتیدی به وسیله گلیکوزیل ترانسفرازها برای سنتز زنجیره قندهای در گلیکوپروتئین‌ها، گلیکولپیدها و پلی‌کربوهیدرات‌ها مورد استفاده قرار می‌گیرند که سرانجام باعث رشد و توسعه بخش محوری و

بی شک شناسایی، کترل، حذف آلل‌های مغلوب نهفته اتوزومال در افراد هتروزیگوت و جلوگیری از انتشار آنها در گله و بهنژادی و سودآوری گله‌ها از مهمترین اهداف اصلاحی هر کشوری می‌باشد (Herzog, 1992). بنابراین، یافتن روش‌های دقیق تشخیصی در این راه، کمک شایانی به شناسایی، حذف ناقلين این بیماری‌ها و حفظ ذخایر ژنتیکی مطلوب می‌نماید. بیشتر نقص‌های ژنتیکی به صورت مغلوب به ارث می‌رسند. بنابراین، تشخیص دقیق حیواناتی که از نظر ژن عامل بیماری، هتروزیگوت هستند بسیار مشکل است، زیرا این حیوانات اغلب به طور طبیعی به زندگی خود ادامه می‌دهند. بنابراین، می‌توانند این ژن را با تولید مثل، در جمعیت پخش کنند و باعث افزایش فراوانی آلل مغلوب گردند (Herzog, 1992).

تشخیص مولکولی ناهنجاری ژنتیکی پیچیدگی ستون فقرات (CVM)¹، نخستین بار توسط Agerholm و همکاران (2000) در جمعیت گاوهای هلشتاین دانمارک تشخیص و گزارش

² Solute Carrier family 35, memberA3

¹ Complex Vertebral Malformation

تبدیل به تیمین شود (شکل 1).

مرکزی اسکلت بدن می‌شود. جهش در موقعیت

559 ژن SLC35A3 سبب می‌شود که بازگوانین

9795

AGTCACCGGGAGCTAAGAGTTCTGAATTAAGATTCCCTGAAAGTCGACCGAGTGTAA

TCAGTGGCCCTCAGATTCTCAAGAGCTTAATTCTAA GGAACCTTCAGCTGGCTACAAT

AACATCCAGAGTA CCGTCAAGAGTGTGTCGTACAAAAGGTACCGAACGACCCCCAAAT

شکل 1- جهش ($G \rightarrow T$) مربوط به ژن SLC35A3 در موقعیت 559 اگزون 4 در کروموزوم شماره 3 گاو و در نتیجه اسیدآمینه والین تبدیل به فنیلآلانین شود (Kanae et al., 2005). این جایگزینی باعث اختلال در عملکرد ژن SLC35A3 و سرانجام نقص در عمل UDP-N-acetylglucosamine transporter می‌شود (Muraoka et al., 2001; Thomsen et al., 2000).

Figure 1- G®T mutation in the SLC35A3 gene at position 559 in exon 4 of chromosome 3 cows and thus amino acid valine is converted to Phenylalanine (Kanae et al., 2005). The replacement in the SLC35A3 gene is cause dysfunction and finally failure in practice UDP-N-acetylglucosamine transporter (Muraoka et al., 2001; Thomsen et al., 2000).

نادر به نظر می‌رسد. در اواخر سال 1991، 3461 نمونه از گاو هلشتاین آمریکایی مورد بررسی قرار گرفتند که از این تعداد 307 گاو نر و 287 گاو ماده، به عنوان ناقل شناسایی شدند. در این مدت در اروپا نیز 1226 حیوان مورد آزمون قرار گرفتند که 169 گاو نر و 245 گاو ماده ناقل این بیماری

بیماری نقص در آنزیم اوریدین مونوفسفات ستاباز (DUMPS)، به صورت آتوژوم نهفته است که اولین بار در سال 1985 در آفریقای جنوبی در گله‌های تحت پوشش تلقیح مصنوعی مشاهده گردید. این عارضه مختص گاوهاست هلشتاین می‌باشد و در نژادهای دیگر مشاهده آن

برای تشخیص و شناسایی بیماری‌های یاد شده در گاوها حامل بود.

بودند (Harlizius et al., 1996; Freeman et al., 2004).

گوساله‌های مبتلا به DUMPS دارای مرگ زود هنگام حدوداً در روز چهلم بارداری می‌باشند و به صورت نارس و مرده متولد می‌شوند (Agerholm et al., 1997). از لحاظ تولید شیر، گاوها ماده ناقل این نقص دارای تولید شیر طبیعی می‌باشند. اما، از نظر ترکیبات شیر در گاوها ناقل مقدار اسید اروتیک 5-10 برابر بیشتر از حد طبیعی است (Shanks & Robinson, 1990). بیماری نقص در آنزیم اوریدین مونوفسفات سنتاز، بر اثر جهش در موقعیت کدون 405 اگزون 5 ژن اوریدین 5 منوفسفات سنتاز (UMPs) که روی کروموزوم شماره 1 گاو واقع شده است اتفاق می‌افتد. باز سیتوزین در این موقعیت در اثر جهش تبدیل به تیمین شده که این جهش باعث ایجاد نابهنجام کدون توقف می‌شود (Harlizius et al., 1996). هدف از انجام این پژوهش، بررسی وجود جهش‌های مرتبط با بیماری‌های CVM و DUMPS در گاوها سرابی ایران و بهینه نمودن آزمون‌های مبتنی بر PCR-RFLP و PCR-SSCP و

مواد و روش‌ها

28 خونگیری از تعداد 162 راس گاو سرابی (راس نر و 134 راس ماده) ایستگاه تحقیقاتی سراب انجام شد. استخراج DNA از 100 میکرو‌لیتر نمونه خون، به روش گوانیدین تیو سینات-Isogene سیلیکاژل با کیت دیاتوم محصول شرکت Isogene (مسکو) انجام شد. کمیت و کیفیت DNA استخراج شده با استفاده از دستگاه نانودروپ استخراج (Thermo Wilmington, USA) به روش طیف سنجی¹ تعیین شد. واکنش زنجیره‌ای پلیمراز با SLC35A3 استفاده از جفت آغازگر اختصاصی ژن UMPs برای تکثیر و جفت آغازگر اختصاصی ژن UMPs براساس روش قطعات مورد نظر توسط دستگاه ترموسایکلر (T-Personal, Biometra, Germany) بر اساس روش استاندارد انجام شد (جدول 1). اجزای واکنش PCR در حجم نهایی 25 میکرولیتر و غلظت نهایی مواد به صورت زیر بود: مواد و مقادیر 1U، 100 mM Tris-HCl (pH 8/8)

¹ Spectrophotometric method

بروموفنل ۱۰ درصد + ۲ میکرولیتر EDTA نیم مولار + ۱۹۰ میکرولیتر گلیسروл + ۵ میکرولیتر فرم آمید) مخلوط شد. سپس به مدت ۵ دقیقه در دمای ۹۵°C در دستگاه PCR قرار داده شد. بلافارسله پس از این مرحله، میکروتیوب ها در داخل یخ قرار گرفتند. سپس نمونه ها روی ژل اکریل آمید ۱۰ درصد و اسرشته با دمای ۷°C ولتاژ ۳۲۰ و مدت زمان ۱۵۰ دقیقه جهت مشاهده تفاوت های تک نوکلئیدی الکتروفورز گردیدند. رنگ آمیزی ژل اکریل آمید به روش نیترات نقره صورت گرفت.

هضم آنزیمی (RFLP)^۳ قطعه ۱۰۸ جفت بازی ژن UMPs برای بدست آوردن الگوی هضمی مناسب با آنزیم *AvaI* انجام شد. الگوی باند های حاصله از هضم آنزیمی روی ژل اکریل آمید ۱۰ درصد، مورد بررسی قرار گرفت. الگوی باندی دام سالم شامل سه باند (۱۹، ۳۶، ۵۳ جفت بازی) و دام ناقل شامل چهار باند (۱۹، ۳۶، ۵۳ و ۸۹ جفت بازی) بود (شکل ۲).

آنزیم Taq پلیمراز (Invitrogen, California, USA) ۰/۱ میلی گرم بر میلی لیتر^۱ (BSA)، (Pharmacia, Uppsala, Sweden) ۰/۲ از هر ۱/۵ mM MgCl₂ و ۱۰۰ نانوگرم از DNA هدف که با استفاده از برنامه دمایی زیر و در ۳۵ سیکل تکثیر شدند: ۹۵ درجه سانتی گراد به مدت ۳ دقیقه، ۹۴ درجه سانتی گراد به مدت ۳۰ ثانیه، ۶۰ درجه سانتی گراد به مدت ۳۰ ثانیه، ۷۲ درجه سانتی گراد به مدت ۳۰ ثانیه و ۷۲ درجه سانتی گراد به مدت ۵ دقیقه، برنامه دمایی و چرخه تکثیر برای ژن UMPs مشابه SLC35A3 با دمای اتصال ۶۱ درجه سانتی گراد به مدت ۳۰ ثانیه بود. الکتروفورز محصولات PCR برای بررسی اختصاصیت و راندمان روی ژل آگارز ۲ درصد با ولتاژ ۹۰ به مدت ۴۰ دقیقه انجام شد و ژل توسط اتیدیوم بروماید رنگ آمیزی و محصولات توسط پرتو فرا بنفس عکسبرداری بررسی شدند.

RFLP و **SSCP** : برای آزمون محصولات PCR با روش (SSCP)^۲ جهت آزمون بیماری CVM، ۴ میکرو لیتر از محصولات PCR با ۱۲ میکرولیتر dye (SSCP 10 میکرولیتر)

^۳ Restriction Fragment Length Polymorphism

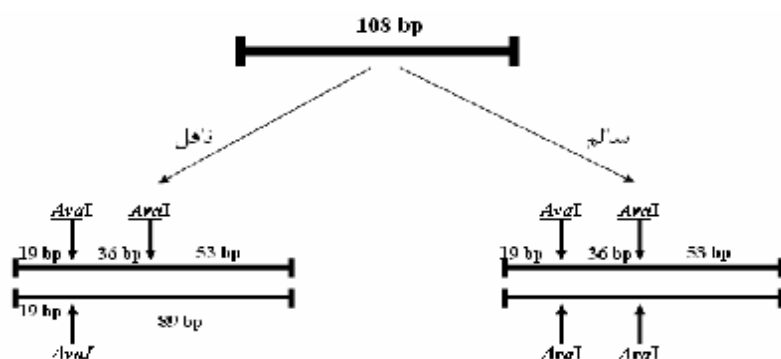
^۱ Bovine Serum Albumin

^۲ Single Strand Conformation Polymorphism

جدول 1- آغازگرهای اختصاصی ناحیه ژنی SLC35A3 و UMPs

ناحیه ژنی	توالی آغازگرها	قطعات تولیدی (جفت باز)	منبع
SLC35A3	F: 5'-TCA GTG GCC CTC AGA TTC TC-3' R: 5'-CCA AGT TGA ATG TTT CTT ATC CA-3'	177	Rusc, & Kaminski, 2007
UMPs	F: 5'-GCA AAT GGC TGA AGA ACA TTC TG-3' R: 5'-GCT TCT AAC TGA ACT CCT CGA GT-3'	108	Schwenger et. al. 1993

Table 1 – Locus-specific-primers of SLC35A3 & UMPs gene.



شکل 2- تصویر شماتیک سایت برشی آنزیم AvaI روی ژن UMPs.

Figure 2- Schematic diagram of *AvaI* restriction site on the UMPs gene.

روی این دو ژن فاقد جایگاه برشی و دارای یک جایگاه برشی بود.

به منظور بررسی عملکرد صحت آنزیم *AvaI*، فعالیت این آنزیم روی محصولات PCR به دست آمده از دو ژن لپتین گاوی¹ و FGFR3² آزمایش شد. بطوریکه آنزیم *AvaI* به ترتیب بر

¹ Bovine Leptin gene

² Fibroblast Growth Factor Receptor 3

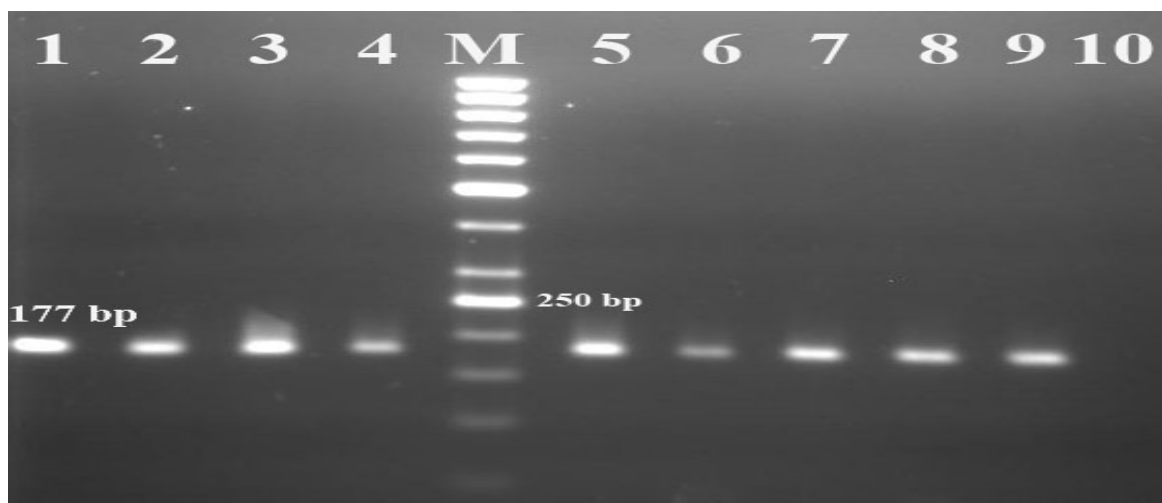
CVM وجود ندارد (شکل 5). در مطالعه Nagahata و همکاران (2002) در ژاپن، 40 گاو نر را مورد بررسی قرار دادند. در این پژوهش، بررسی‌های گوناگونی از قبیل توجه در علائم ماکروسکوپی، علائم کالبد شکافی و علائم رادیوگرافی در گوساله‌های مبتلا به CVM انجام شد که نهایتاً از این تعداد، 13 مورد ناقل CVM از طریق تکنیک‌های مولکولی شناسایی شد. همچنین در کشور لهستان برای تعیین فراوانی ناقلين CVM، Rusc و همکاران (2007) تعداد 202 گاو نر را که در سال‌های 2001 تا 2004 در تلقیح استفاده می‌شدند و 403 گاو نری که تحت ارزیابی برای استفاده آینده در تلقیح بودند را آزمون نمودند که همگی از نژاد هلشتاین - فرزین لهستانی (لهستانی سیاه و سفید) بودند. از تعداد 605 گاو نر بیان شده، 150 مورد ناقل CVM شناسایی شد.

نتایج و بحث

استخراج DNA و واکنش زنجیره‌ای پلیمراز

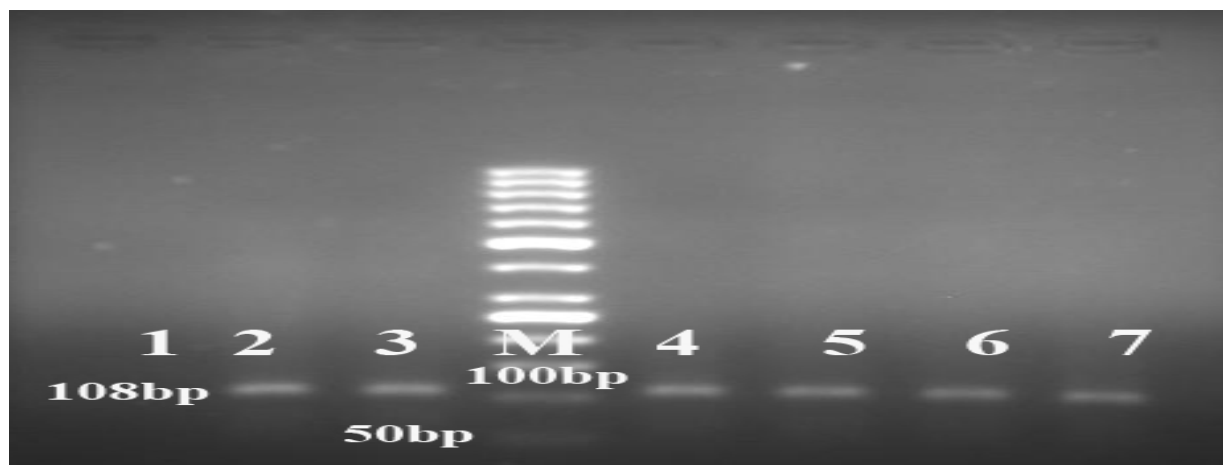
نتایج طیف سنجی نشان داد که DNA های استخراج شده از کیفیت مناسبی برای انجام PCR برخوردار بودند. نتایج بررسی محصولات PCR بر روی ژل آگارز نشان دادند که الگوی باندی مربوط به تکثیر قطعه 177 جفت بازی ژن SLC35A3 و 108 جفت بازی ژن UMPs فاقد باند غیر اختصاصی، دایمر و اسماير بود که موید اختصاصی بودن جفت آغازگرها می‌باشد (شکل 3 و شکل 4).

CVM: نتایج بررسی الگوی تفاوت فرم فضایی رشته‌های منفرد (SSCP) روی ژل اکریل آمید 10 درصد و اسرشته، نشان داد که هیچ یک از دام‌های موجود در ایستگاه گاو سرابی حامل ژن جهش یافته نبودند و این بدین معنی است که در دام‌های سرابی مورد بررسی، هیچ ناقلى از بیماری



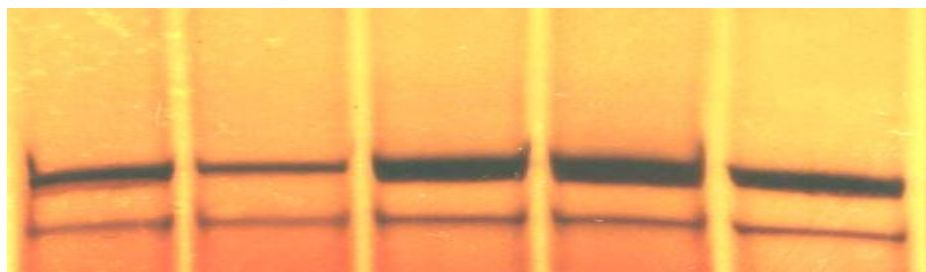
شکل 3- الکتروفورز محصولات PCR ژن SLC35A3. شماره 1-9 (قطعه 177 جفت بازی)، شماره 10 (کنترل منفی)، M: نشانگر وزنی مورد استفاده برای تعیین اندازه محصولات PCR. اندازه باندهای نشانگر وزنی M50 از بالا به پایین برحسب bp به قرار زیر می باشد (50-100-150-200-250-300-400-500-600-700-800-900-1000).

Figure 3- Agarose gel electrophoresis of SLC35A3 gene PCR products. Lanes (1-9), 177 bp fragment; Lane 10, Negative control, M, 50 bp ladder.



شکل 4- الکتروفورز محصولات PCR ژن UMPs. شماره 1 کنترل منفی، شماره 2-7 108 جفت بازی، M: نشانگر وزنی مورد استفاده برای تعیین اندازه محصولات PCR. اندازه باندهای نشانگر وزنی M50 از بالا به پایین برحسب bp به قرار زیر می باشد (50-100-150-200-250-300-400-500-600-700-800-900-1000).

Figure 4- Agarose gel electrophoresis of UMPs gene PCR products. Lane 1, Negative control, Lanes (2-7), 108 bp fragment; M, 100 bp ladder.

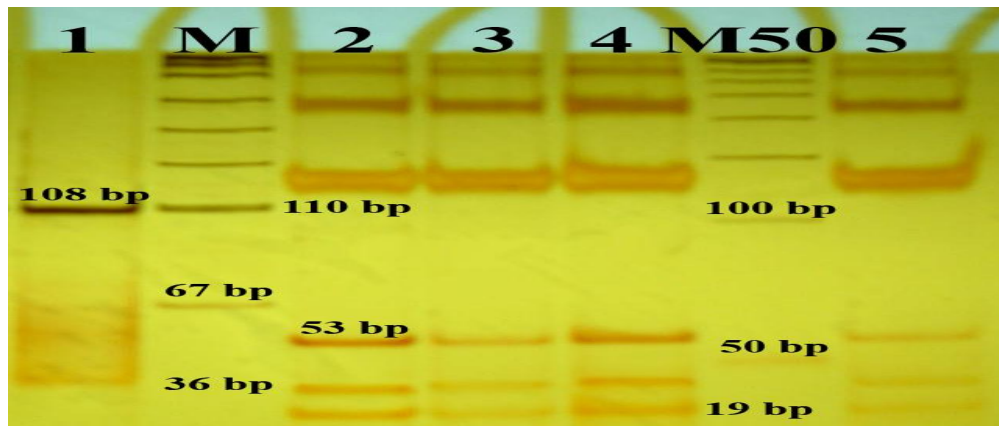


شکل ۵- الکتروفورز اکریل آمید محصولات PCR ژن SLC35A3 برای بررسی به روش SSCP.

Figure 5- SLC35A3 gene PCR products on polyacrylamid gel electrophoresis for detecting of SSCP patterns.

دادند و این بدین معنی است که در دام‌های سرابی
مورد بررسی هیچ ناقلی از بیماری DUMPS
وجود ندارد (شکل ۶).

DUMPS
هضم آنزیمی (RFLP) قطعه 108 جفت
بازی ژن UMPs نشان داد هیچ یک از دام‌های
موجود در ایستگاه گاو سرابی حامل ژن جهش
یافته نبودند و همه دام‌ها الگوی سه باندی را نشان

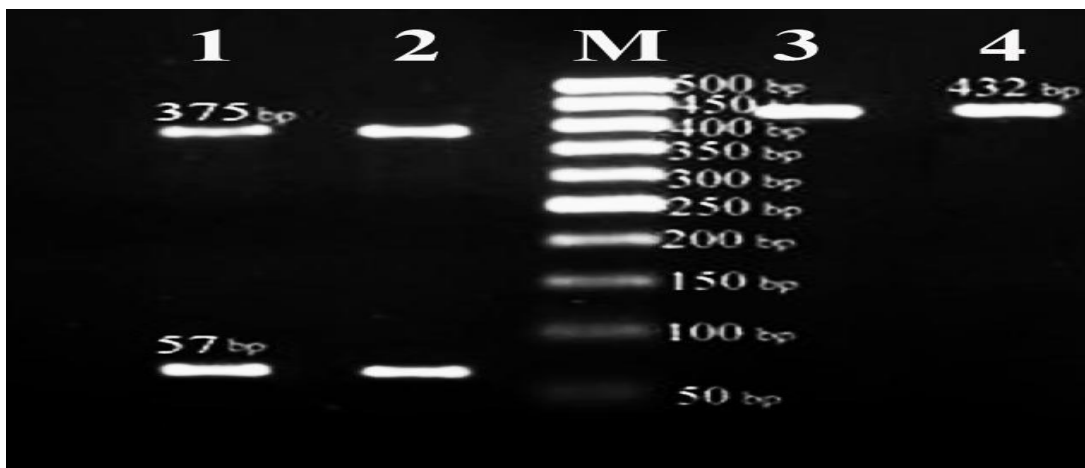


شکل ۶- الکتروفورز اکریل آمید محصولات هضمی آنزیم برشی *AvaI* شماره ۱ (قطعه هضم نشده)، شماره ۲-۵ (محصولات هضم شده)، M نشانگر وزنی pUC19/MspI مورد استفاده برای تعیین اندازه محصولات PCR. اندازه باندهای نشانگر وزنی از بالا به پایین برحسب bp به قرار زیر می باشد (501-489-404-331-242-190-147-111). M50: نشانگر وزنی، اندازه باندهای نشانگر وزنی از بالا به پایین برحسب bp به قرار زیر می باشد (450-400-350-300-250-200-150-100-50).

Figure 6- Restriction profiles of the 108 bp PCR fragments obtained after treatment with *AvaI* on polyacrylamid gel, Lane 1, undigested PCR product; Lanes (2-7), digested PCR products, M, pUC19/MspI ladder; M50, 50 bp ladder.

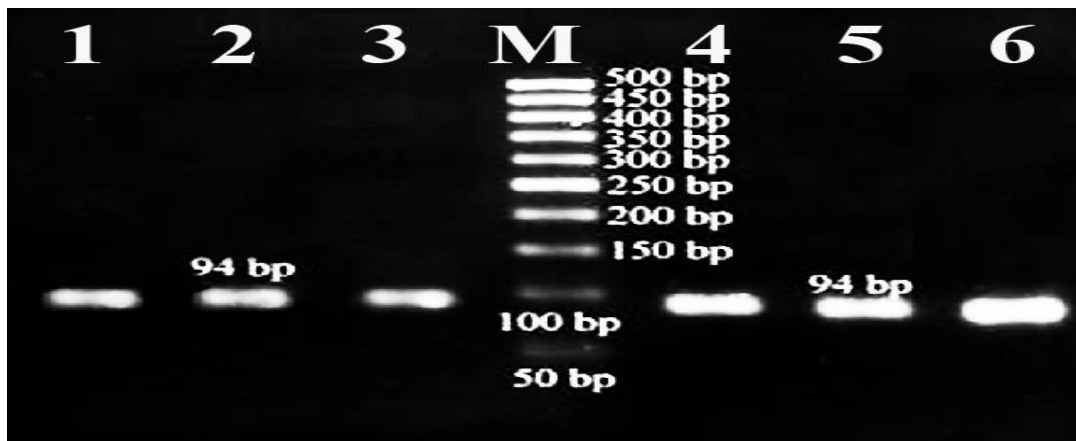
همین اساس، برای بررسی صحت عملکرد آنزیم *AvaI*، این آنزیم روی محصولات PCR بدست آمده از دو ژن FGFR3 و لپتین گاوی مورد آزمون قرار گرفت. نتایج این آزمون فعالیت برشی صحیح آنزیم *AvaI* را تائید نمود (شکل 7 و 8).

با توجه به اینکه در این مطالعه برای اولین بار از آنزیم *AvaI* برای کاوش ژن UMPs گاو نژاد سرایی استفاده گردید و عدم وجود نمونه کنترل مشتبه امکان حصول نتایج فرعی نیز وجود داشت که این خود دقت ویژه ای را می طلبید. بر



شکل 7- الکتروفورز محصولات PCR ژن FGFR3 و محصولات هضمی با آنزیم برشی *AvaI*. شماره 1-2 (قطعه هضم شده)، شماره 3-4 (محصولات PCR ژن FGFR3)، M نشانگر وزنی 50bp مورد استفاده برای تعیین اندازه محصولات PCR. اندازه باندهای نشانگر وزنی از بالا به پایین بر حسب bp به قرار زیر می باشد (50-100-150-200-250-300-350-400-450-500).

Figure 7- Agarose gel electrophoresis of FGFR3 gene PCR products & restriction profiles of this PCR fragments obtained after treatment with *AvaI*. Lanes (1-2), digested PCR products, Lanes (3-4), FGFR3 gene PCR products, M, 50 bp ladder.



شکل ۸- الکتروفورز محصولات PCR ژن لپتین گاوی و محصولات هضمی با آنزیم برشی *AvaI*. شماره ۱-۳ (محصولات PCR هضم نشده)، شماره ۴-۶ (محصولات PCR ژن لپتین گاوی)، M نشانگر وزنی ۵۰bp مورد استفاده برای تعیین اندازه محصولات PCR. اندازه باندهای نشانگر وزنی از بالا به پایین برحسب bp به قرار زیر می باشد (50-100-150-200-250-300-350-400-450-500).

Figure 8- Agarose gel electrophoresis of bovine leptin gene PCR products & restriction profiles of this PCR fragments obtained after treatment with *AvaI*. Lanes (1-3), undigested PCR products, Lanes (4-6), bovine leptin gene PCR products, M, 50 bp ladder.

DUMPS مشاهده نکردند. در مطالعه‌ای Patel و همکاران (2006) روی گاوهای بومی هند و گاوهای زبود مورد بررسی قرار دادند و در نهایت ناقلى از این بیماری را مشاهده نکردند. همچنان Akyuz و همکاران (2008) در پژوهشی گاوهای بومی ترکیه و گاوهای براون سوئیس منطقه را آزمایش کردند و نتایج آنها نشان داد که هیچ دام ناقلى از این بیماری در گله‌های مورد بررسی وجود ندارد. نتایج این پژوهش، یافته‌های گزارش شده توسط افراد ذکر شده را تائید نمود.

همچنین نتایج حاصله تایید کننده این فرضیه می‌باشد که بیماری DUMPS محصولی ناخواسته از یک برنامه اصلاح نژادی بوده و منشاء آن اسپرم گاوهای مرتبط با Happy herd beautician می‌باشد، چرا که در این پژوهش و پژوهش‌های مشابه روی نژادهای بومی مناطق دیگر دنیا، این بیماری شناسایی نشده است. مطالعه Kaminski و همکاران (2005) روی گاوهای هلشتاین لهستانی انجام دادند و با وجود جامعه بزرگی (2209 راس) که مورد بررسی قرار دادند هیچ اثری از ناقلين

بیماری‌های ژنتیکی اتوزومال در سطح گله‌های پایه و تجاری و همچنین در سطح اسپرم‌های وارداتی و تولیدی مراکز اصلاحی داخل کشور امری غیر قابل انکار است و این روش‌ها به آسانی توانایی بهینه شدن، تفکیک و شناسایی دام‌های حامل و آلل‌های جهش یافته را دارند. همچنین روش ارائه شده در این پژوهش می‌تواند برای شناسایی و غربالگری سایر دام‌های بومی و اسپرم‌های گاو‌های مراکز اصلاح نژاد کشور برای تشخیص حاملین استفاده شود.

تشکر و قدردانی

از معاونت پژوهشی دانشکده کشاورزی و آزمایشگاه بیوتکنولوژی حیوانی دانشگاه فردوسی مشهد به سبب فراهم نمودن امکانات و تجهیزات پژوهشی، همکاران مرکز اصلاح نژاد دام ایستگاه تحقیقاتی سراب (استان آذربایجان شرقی) و همکاران پژوهشکده بیوتکنولوژی کشاورزی شمال غرب و غرب ایران صمیمانه تشکر و قدردانی می‌شود.

نتیجه گیری کلی

عدم مشاهده آلل مغلوب جهش یافته بیماری‌های ژنتیکی پیچیدگی ستون فقرات و نقص در آنزیم اوریدین مونوفسفات سنتاز در گاو‌های بومی سرابی مرکز اصلاح نژاد سراب استان آذربایجان شرقی نیز عدم استفاده از اسپرم‌های خارجی پرتوالید و اصیل بودن دام‌های این ایستگاه را تایید نمود. ویژگی‌های خاص این دام، نوید بخش یک منبع ژنتیکی مناسب برای آن منطقه می‌باشد. برای حفظ خلوص ژنتیکی باید تمهیدات گسترده‌تری از سوی مسئولین صورت گیرد. زیرا خالص‌سازی این گله‌ها برای داشتن ذخایر ژنی خالص و مطلوب به منظور انجام کارهای اصلاحی و بهنژادی و اجرا نمودن راهبردهای اصلاحی هیچ مشکلی به لحاظ انتشار آلل مغلوب و همچنین کاهش راندمان اقتصادی بوجود نمی‌آورد و با اطمینان و ضریب دقت بالا می‌توان از اسپرم گاو‌های برتر این نژاد، برای اصلاح نژاد دام‌های منطقه و اجرا نمودن راهبردهای اصلاح نژادی استفاده نمود. نتایج این پژوهش نشان دادند که لزوم استفاده از تکنیک‌های مولکولی (PCR-SSCP) و (PCR-RFLP) به منظور شناسایی ناقلین

منابع

1. Agerholm JS, Bendixen C, Andersen O, Arnbjerg J (2000) Complex vertebral malformations in Holstein calves. Report LK-564. National Committee on Danish Cattle Husbandry, Aarhus, Denmark.
2. Agerholm JS, Bendixen C, Andersen O, Arnbjerg J (2001) Complex vertebral malformation in Holstein calves. *Journal of Veterinary Diagnostic Investigation* 13:283–289.
3. Agerholm JS, Willadsen CM, Nielsen TK, Giese SB, Holm E, Jensen L, Agger JF (1997) Diagnostic studies of abortion in Danish dairy herds. *Journal of Veterinary Medicine A* 44: 551-558.
4. Akyuz B, Ertugrul O (2008) Detection of deficiency of Uridine Monophosphate Synthase (DUMPS) in Holstein and native cattle in Turkey. *Journal of Ankara University Faculty of Veterinary Medicine* 55: 57-60.
5. Duncan RB, Colin Jr, Carrig B, Agerholm JS, Bendixen C (2001) Complex vertebral malformation in a Holstein calf: report of a case in the USA. *Journal of Veterinary Diagnostic Investigation* 13:333–336.
6. Freeman AR, Meghen CM, Machugh DE, Loftus RT, Achukwi MD, Bado A, Sauveroché B, Bradley DG (2004) Admixture and diversity in West African cattle populations. *Molecular Ecology* 13: 3477-3487.
7. Harlizius B, Schrober S, Tammen I, Simon D (1996) Isolation of the bovine uridine monophosphate synthase gene to identify the molecular basis of DUMPS in cattle. *Journal of Animal Breeding and Genetics* 133: 303-309.
8. Herzog A (1992) Genetic defects in cattle and the possibilities of control. *Wiener Tierarztliche Monatsschrift* 79: 142-148
9. Ishida N, Kawakita M (2004) Molecular physiology and pathology of the nucleotide sugar transporter family (SLC35). *Pflügers Archiv European Journal of Physiology* 447: 768-775
10. Ishida N, Kuba T, Aoki K, Miyatake S, Kawakita M, Sanai Y (2005) Identification and characterization of human Golgi nucleotide sugar transporter SLC35D2, a novel member of the SLC35 nucleotide sugar transporter family. *Genomics* 85: 106-116.
11. Kaminski S, Grzybowski G, Prusak B, Rusc A (2005) No incidence of DUMPS carriers in Polish dairy cattle. *Journal of Applied Genetics* 46 (4): 395-397.
12. Kanae Y, Endoh D, Nagahata H, Hayashi, M (2005) A method for detecting complex vertebral malformation in Holstein calves using polymerase chain reaction-primer introduced restriction analysis. *Journal of Veterinary Diagnostic Investigation* 17: 258-262.
13. Muraoka M, Kawakita M, Ishida, N (2001) Molecular characterization of human UDP-glucuronic acid/UDP-N-acetylgalactosamine transporter, a novel nucleotide sugar transporter with dual substrate specificity. *FEBS Letters* 495: 87-93.
14. Nagahata H, Oota H, Nitani A, Oikawa S., Higuchi H., Nakade T, Kurosawa T, Morita M, Ogawa H. (2002). Complex Vertebral Malformation in a Stillborn Holstein Calf in Japan. *Journal of Veterinary Medical Science*. 64(12): 1107-1112.
15. Patel RK, Singh KM., Soni KJ, Chauhan JB, Sambasiva Rao KRS (2006) Lack of carriers of citrullinaemia and Dumps in Indian Holstein cattle. *Journal of Applied Genetics* 47(3): 239-242.

16. Rusc A, Kaminski S (2007). Prevalence of complex vertebral malformation carriers among Polish Holstein-Friesian bulls. *Journal of Applied Genetics* 48(3): 247-252.
17. Schwenger B, Schober S, Simon D (1993). DUMPS cattle carry a point mutation in the Uridine Monophosphate synthase gene. *Genomics* 16: 241-244.
18. Shanks RD, Robinson JL (1990) Deficiency of uridine monophosphate synthase among Holstein cattle. *Cornell Veterinarian* 80: 119-122.
19. Thomsen B, Horn P, Panitz F, Bendixen E, Petersen A. H, Holm L (2006) A missense mutation in the bovine SLC35A3 gene, encoding a UDP-N-acetylglucosamine transporter, causes complex vertebral malformation. *Genome Research* 16: 97-105.

Investigation of Iranian native Sarabi Cows for Complex Vertebral Malformation (CVM) and Deficiency in Uridine Mono Phosphate Syntase Enzyme (DUMPS) Genetic Disorders by Using PCR-SSCP and PCR-RFLP Technique

Nassiry M.R.^{1,2}, Ghovvati S.¹, Tahmoorespour M.¹, Doosti M.^{*1}, Mahdavi M.¹, Sadeghi B.¹, Armin M.R.³

¹ Animal Science Department, Faculty of Agriculture, Ferdowsi University of Mashhad, Mashhad, P. O. Box: 91775-1163, Iran.

² Institute of Biotechnology, Ferdowsi University of Mashhad, Mashhad, Iran

³ Department of Biotechnology and Plant Breeding, Faculty of Agriculture, Ferdowsi University of Mashhad

Abstract

Evaluating and detection of genetic disorders is very important in both human and animal communities. Blood samples were prepared from 162 cows from Sarabi cows' research station in Sarab, East Azerbaijan province, Iran. DNA extraction was done based on guanidine thiocyanate – silica gel method. The aim of this study was to identify the CVM and DUMPS carriers in Sarabi native cows of Iran. Standard polymerase chain reaction was applied to amplify a 177 bp and a 108 bp fragments from exon 4 in SLAC35A3 gene and exon 5 in UMPs gene using specific primers pair. The SLC35A3 gene PCR products were analyzed using single stranded conformation polymorphism (SSCP) to reveal their mutations on polyacrylamide gel. In order to identify DUMPS carrier animals, a RFLP assay was conducted and the UMPs PCR products were digested by *AvaI* restriction enzyme. Results indicated that no G→T mutation at position 559 in exon 4 of SLAC35A3 gene and C→T mutation at position 405 in exon 5 of UMPs gene in examined cows respectively and subsequently no carrier was identified.

Keywords: *Autosomal Genetic Diseases, CVM, DUMPS, Sarabi cow, PCR-RFLP, PCR-SSCP.*

* Corresponding author: M. Doosti

Email: Doosti.mohammad@stu-mail.um.ac.ir